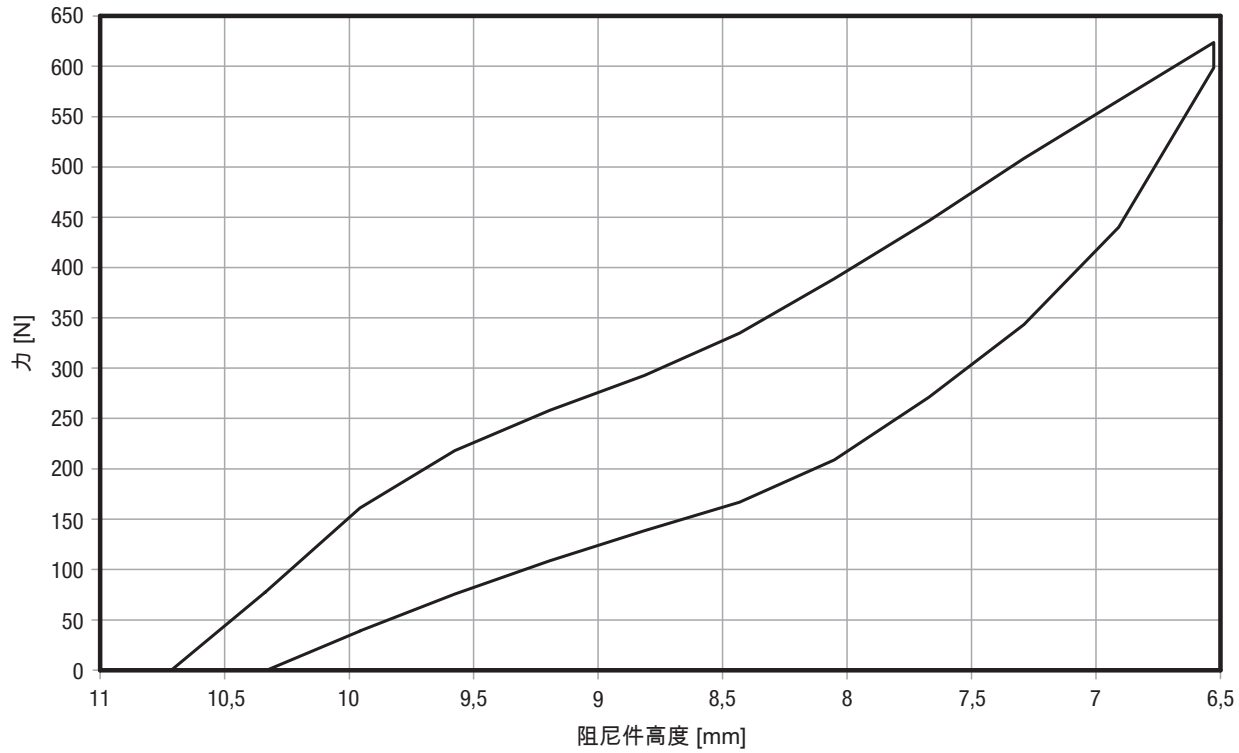


型材阻尼件技术资料

连续负载的特征曲线

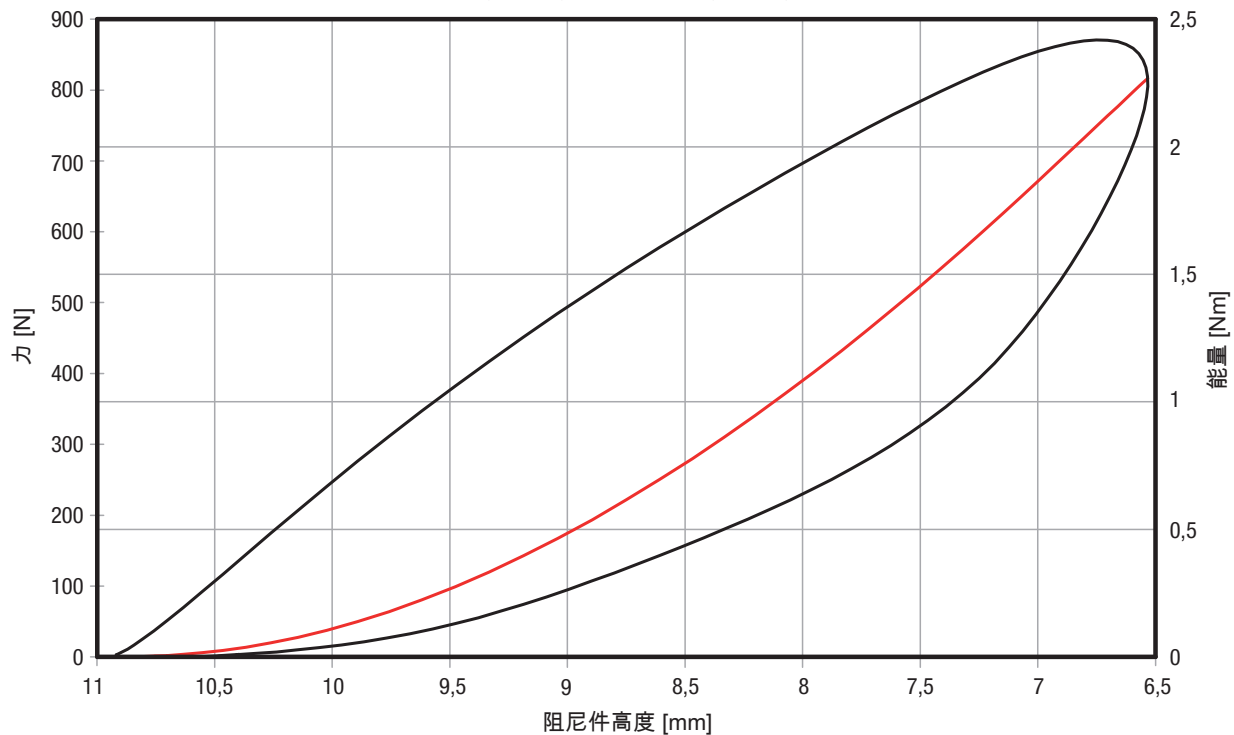
26180-01205

力 - 位移特征曲线, 静态
能量总计值: 1,36 Nm, 能量绝对值: 0,56 Nm, 效率: 41 %



26180-01205

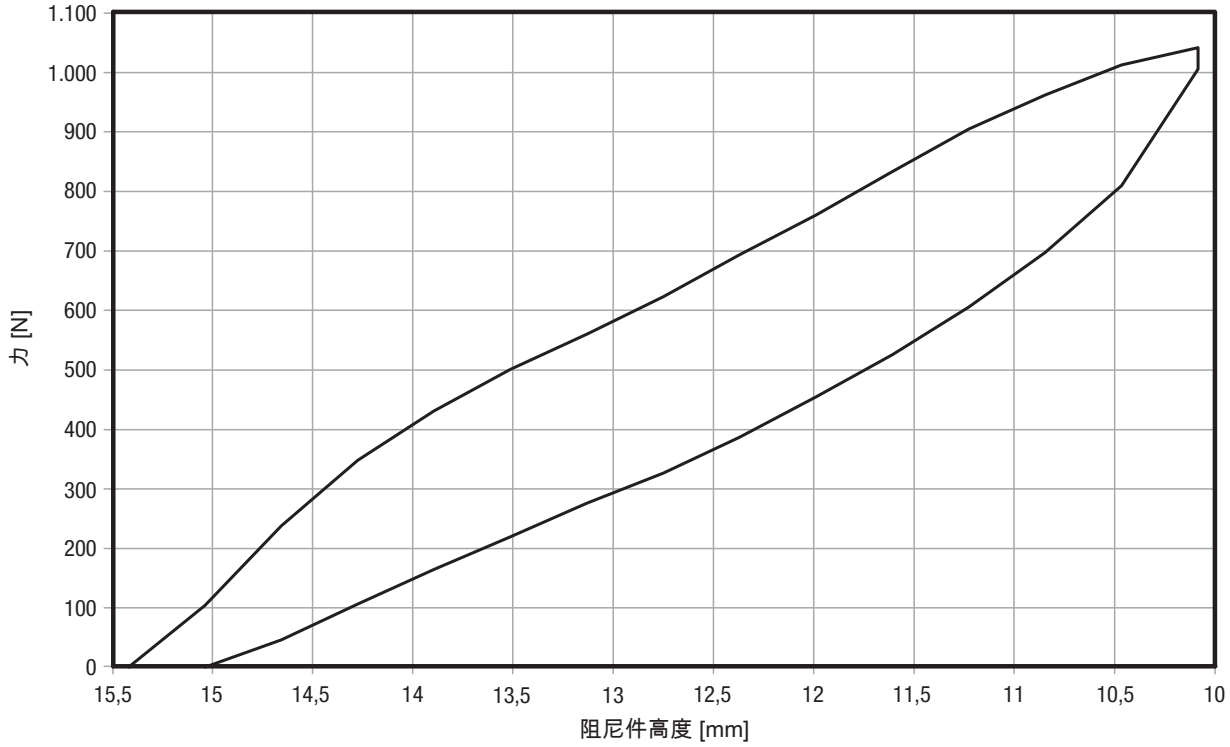
力 - 位移特征曲线, 动态
能量总计值: 2,27 Nm, 能量绝对值: 1,43 Nm, 效率: 63 %



26180-01707

力 - 位移特征曲线, 静态

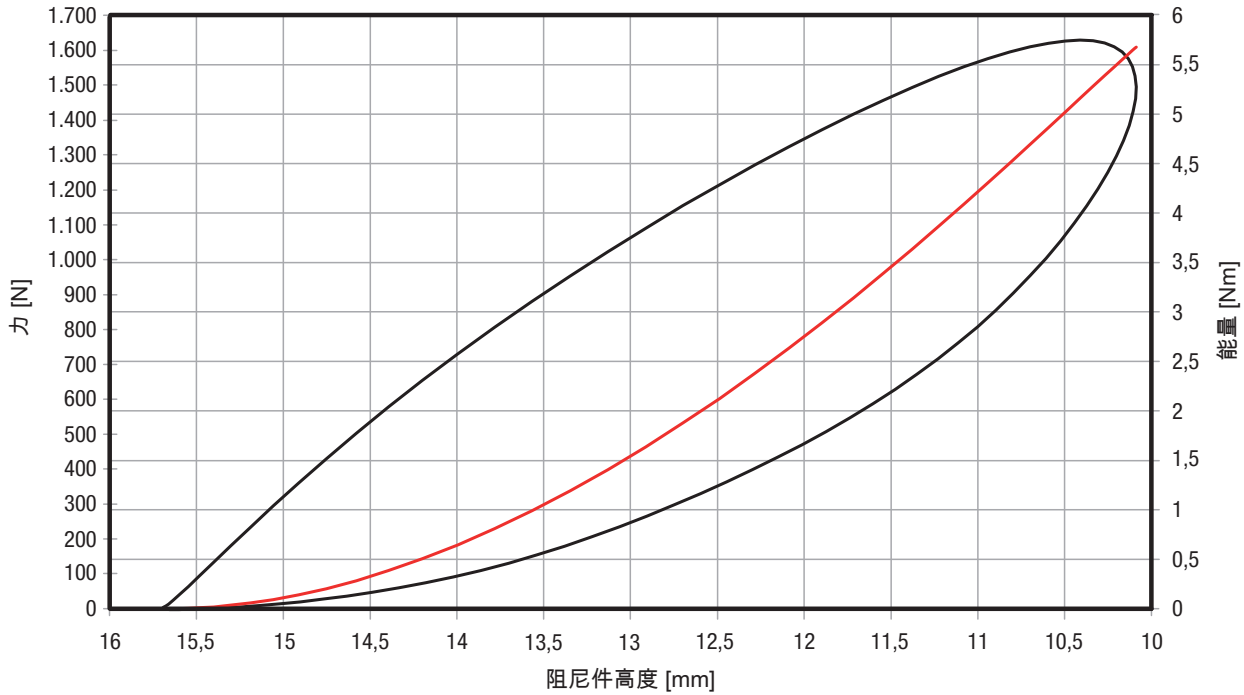
能量总计值: 3,2 Nm, 能量绝对值: 1,3 Nm, 效率: 40 %



26180-01707

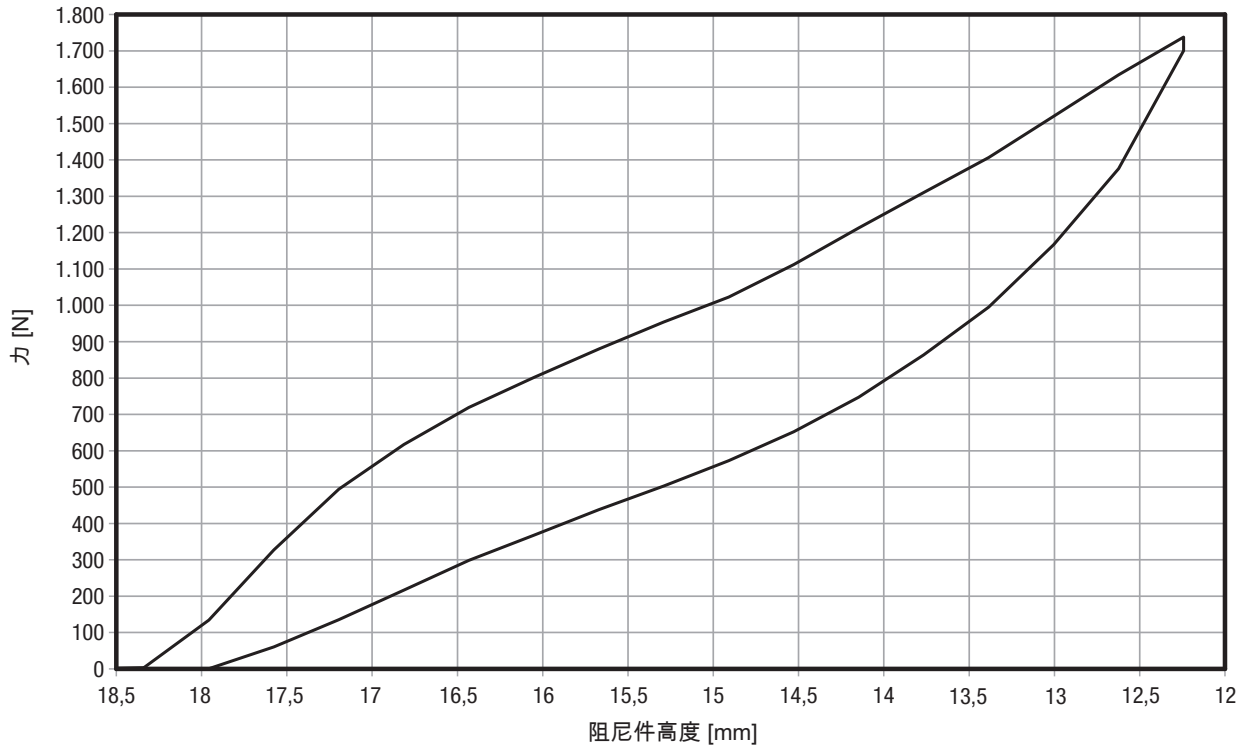
力 - 位移特征曲线, 动态

能量总计值: 5,7 Nm, 能量绝对值: 3,5 Nm, 效率: 62 %



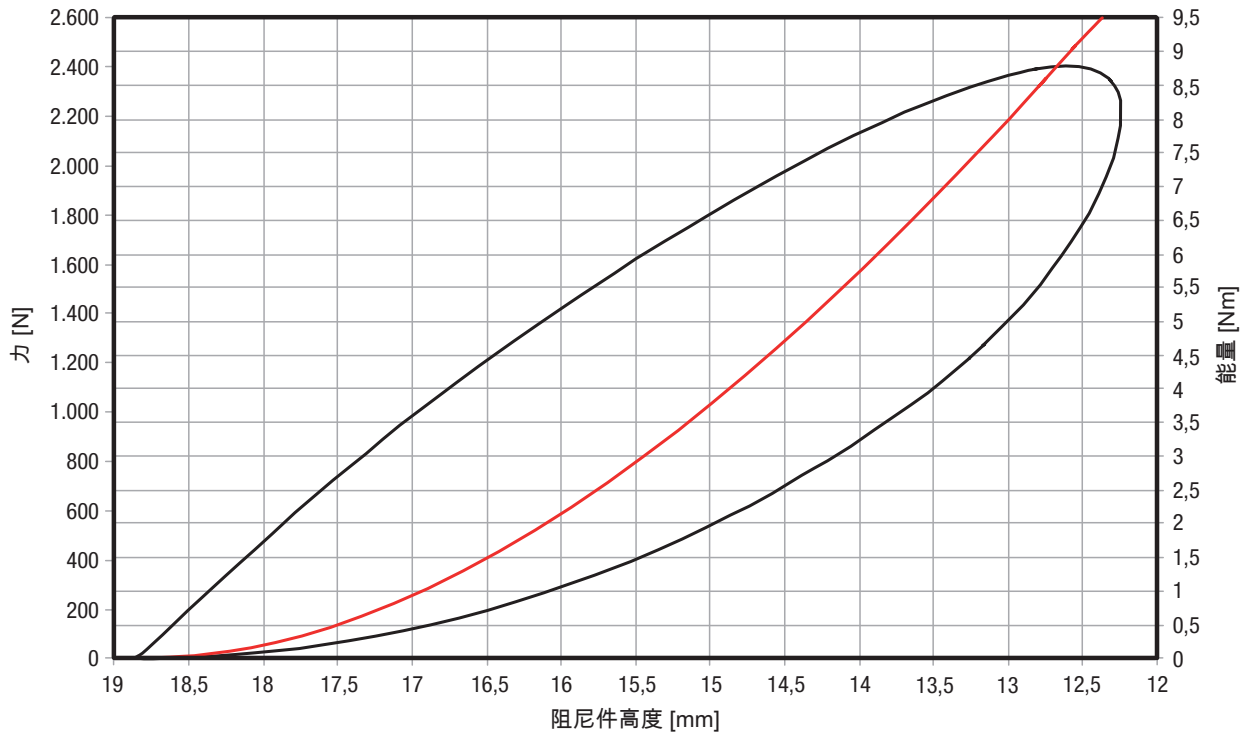
26180-02109

力 - 位移特征曲线，静态
能量总计值: 5,7 Nm, 能量绝对值: 2,2 Nm, 效率: 38 %



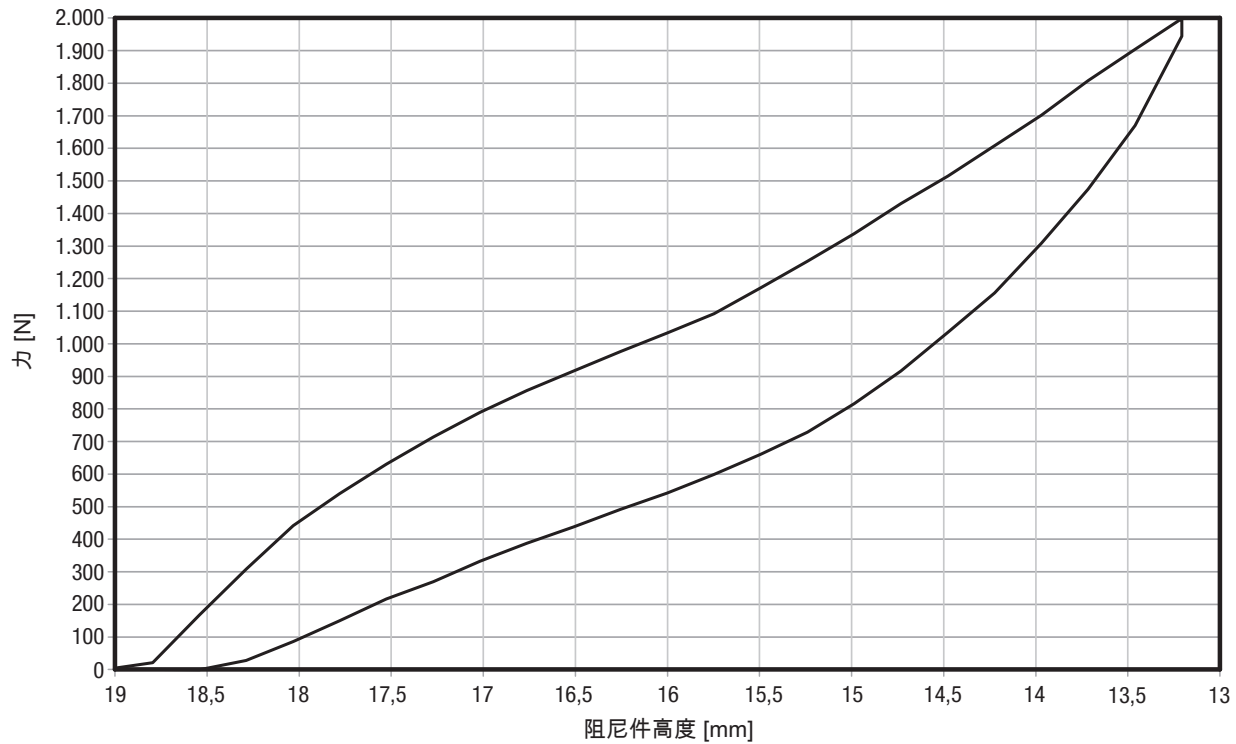
26180-02109

力 - 位移特征曲线，动态
能量总计值: 9,8 Nm, 能量绝对值: 6 Nm, 效率: 62 %



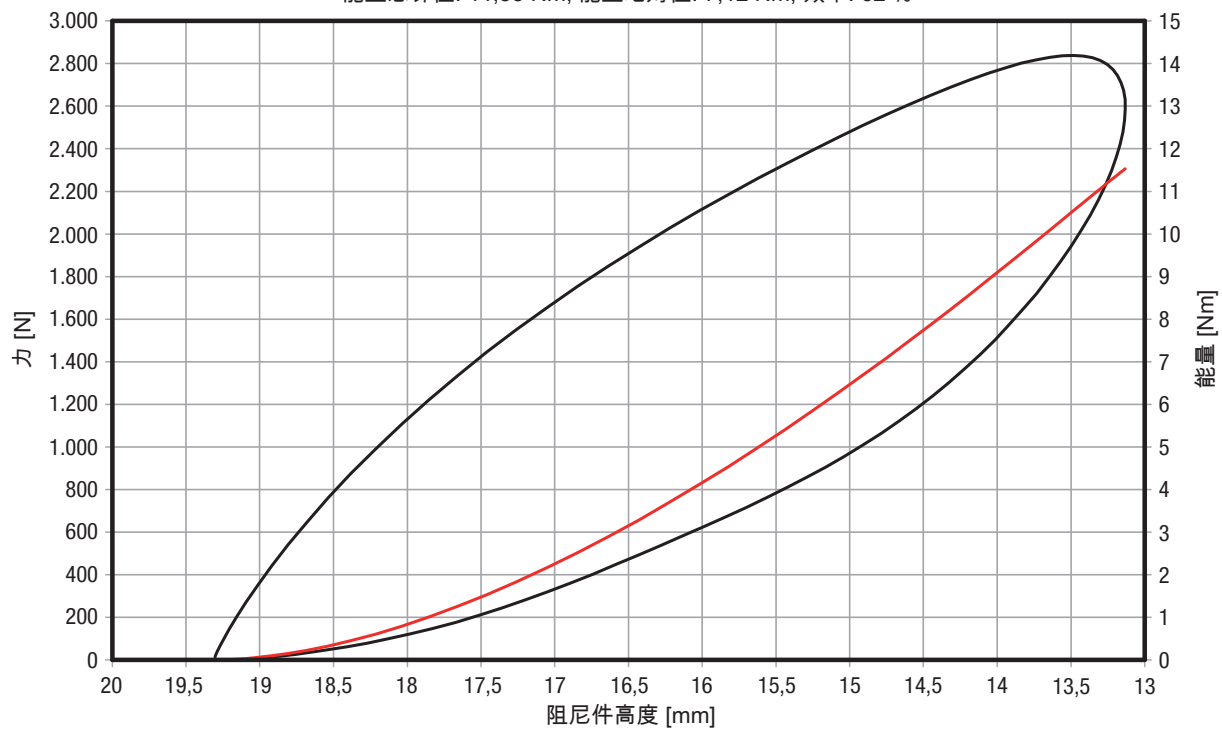
26180-02210

力 - 位移特征曲线，静态
能量总计值: 5,9 Nm, 能量绝对值: 2,3 Nm, 效率: 38 %



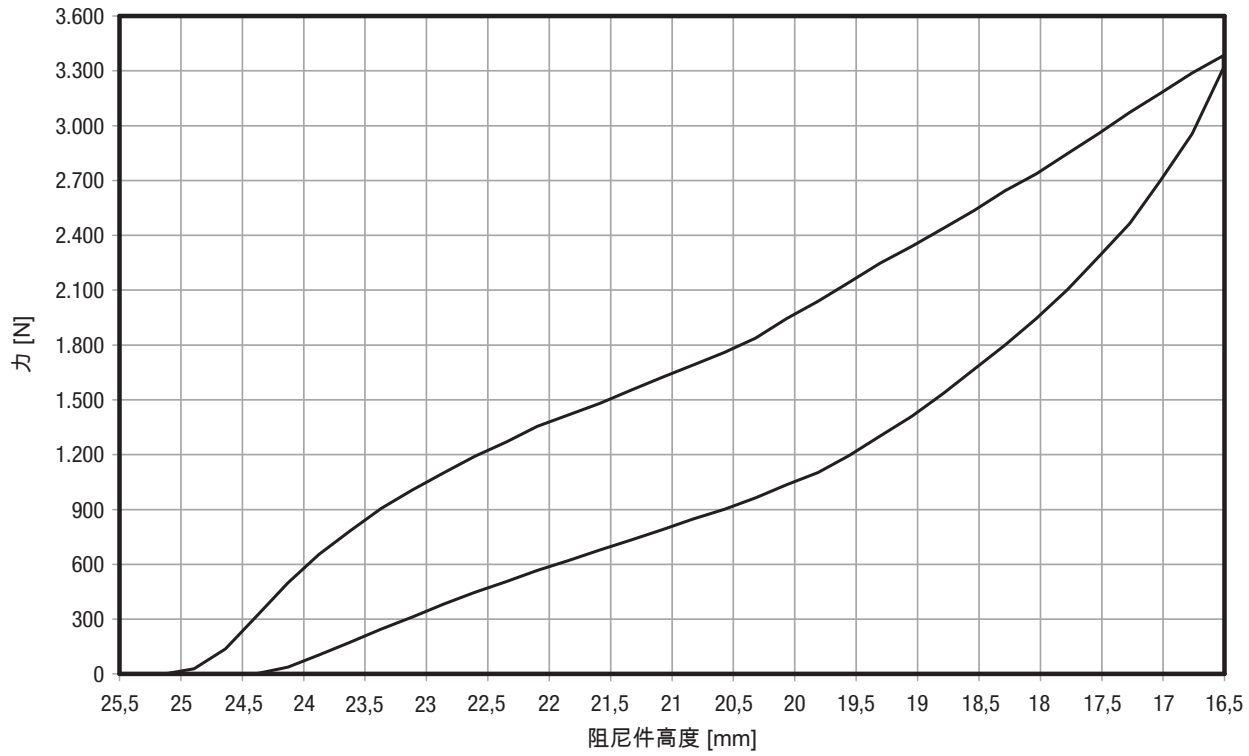
26180-02210

力 - 位移特征曲线，动态
能量总计值: 11,53 Nm, 能量绝对值: 7,12 Nm, 效率: 62 %



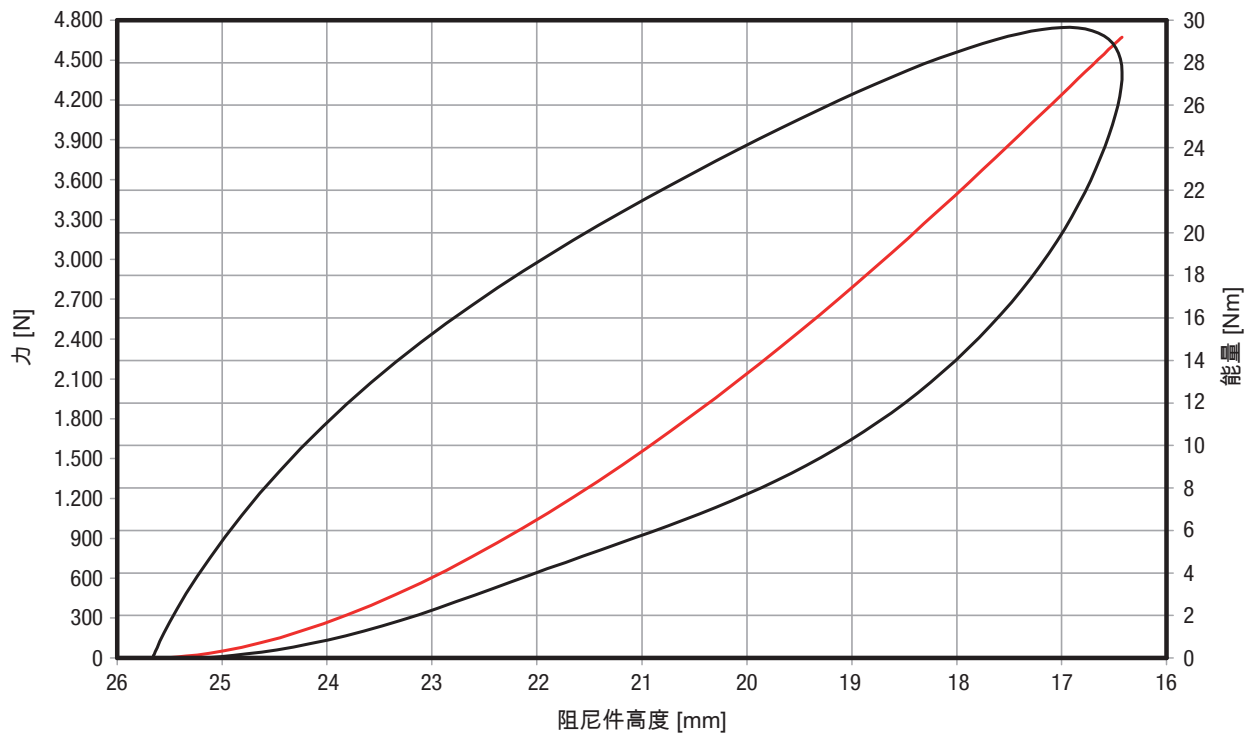
26180-02812

力 - 位移特征曲线，静态
能量总计值: 14,8 Nm, 能量绝对值: 5,9 Nm, 效率: 40 %



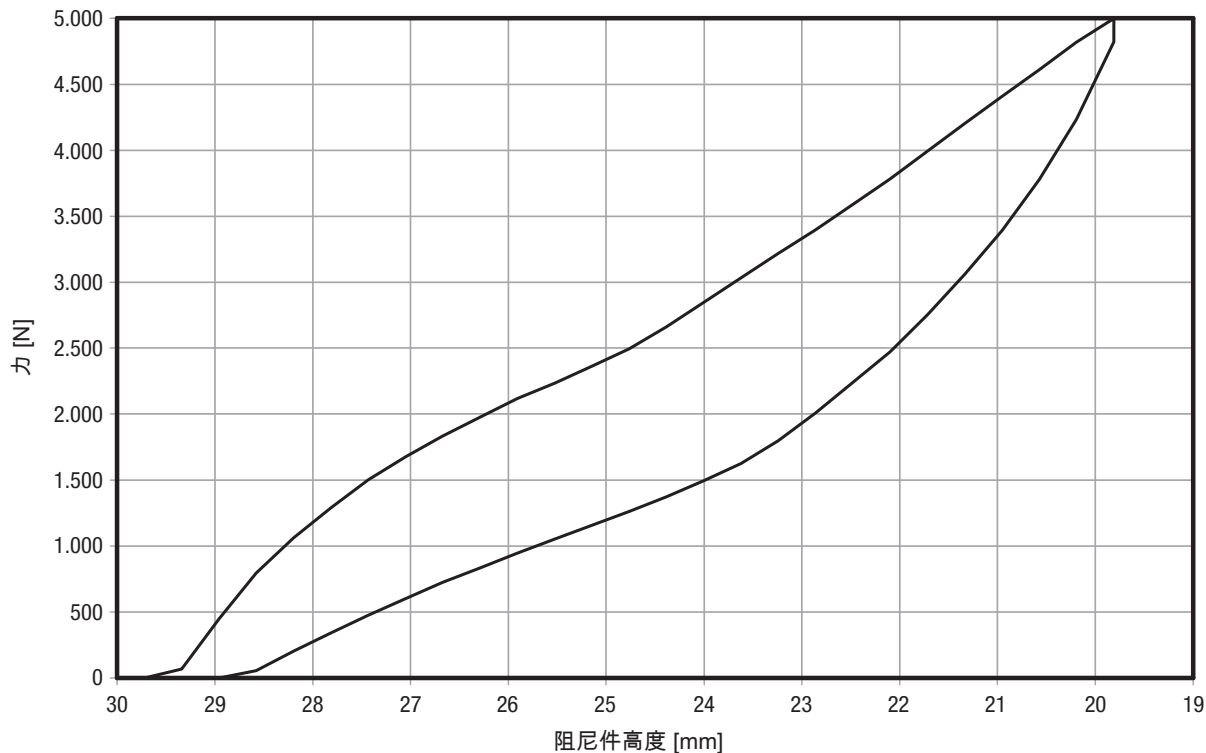
26180-02812

力 - 位移特征曲线，动态
能量总计值: 29,2 Nm, 能量绝对值: 18,4 Nm, 效率: 60 %



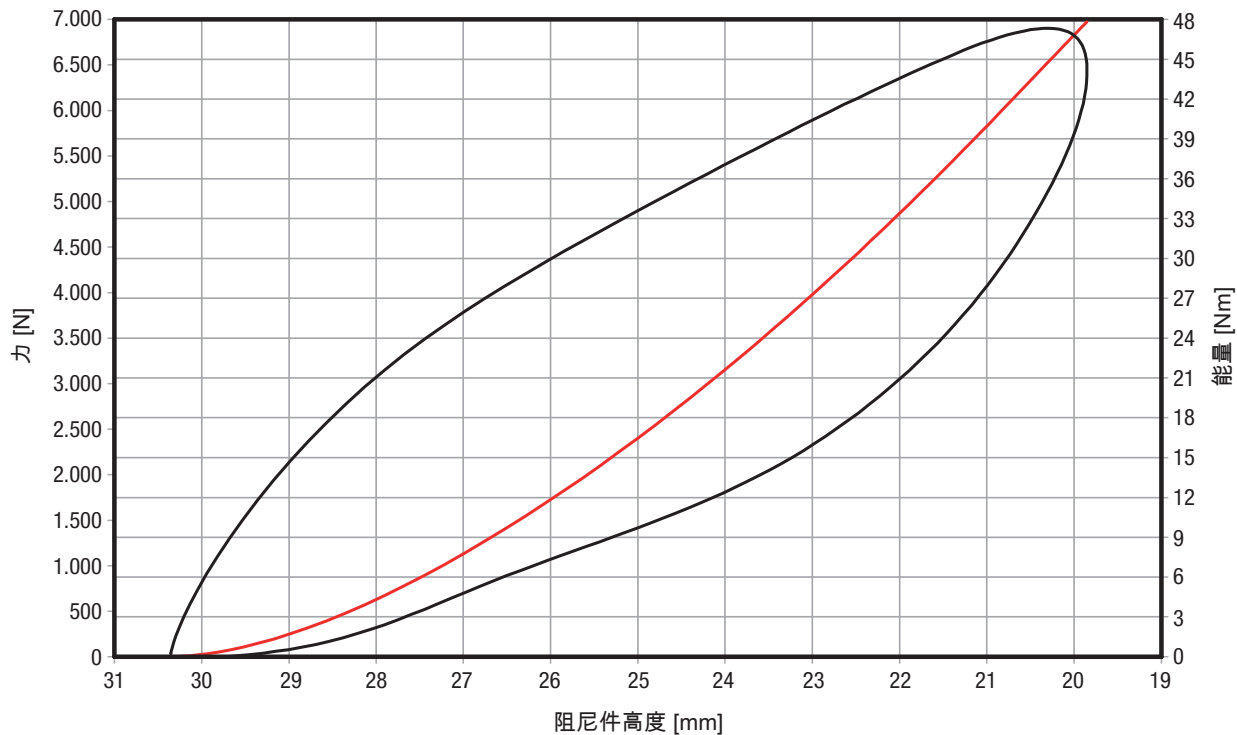
26180-03414

力 - 位移特征曲线, 静态
能量总计值: 25,5 Nm, 能量绝对值: 10,2 Nm, 效率: 40 %



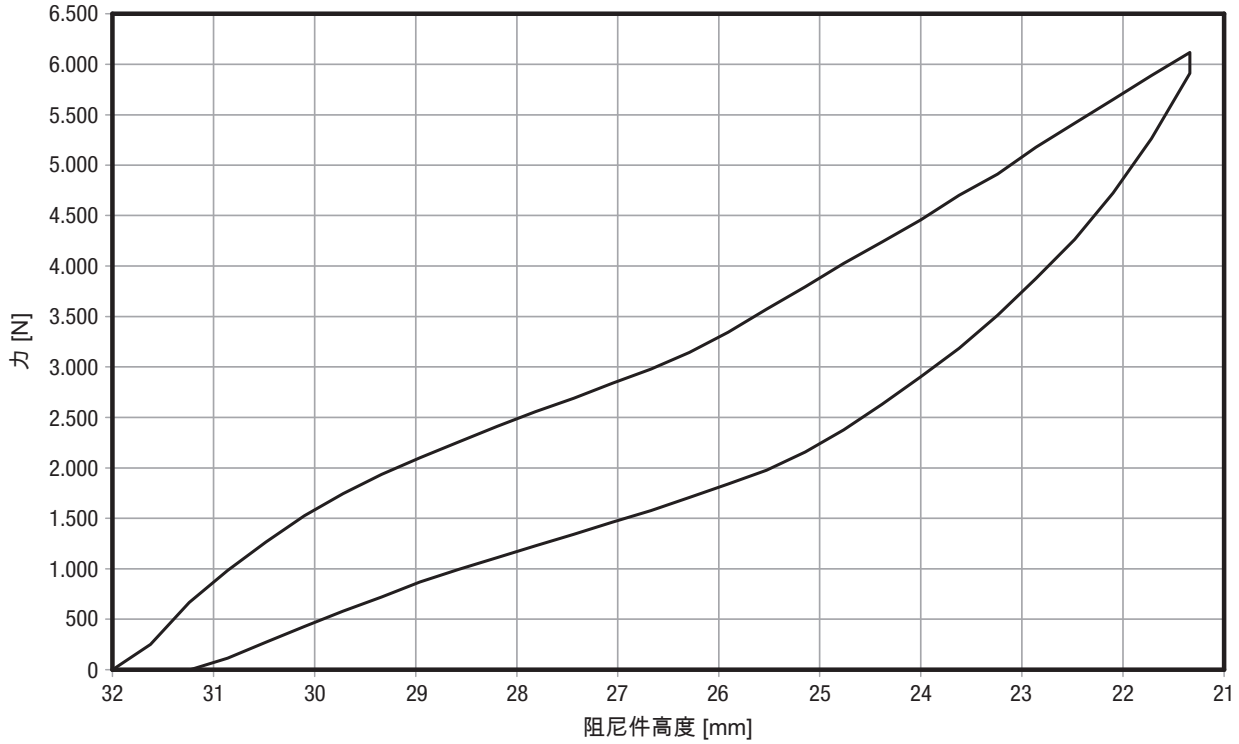
26180-03414

力 - 位移特征曲线, 动态
能量总计值: 48 Nm, 能量绝对值: 29 Nm, 效率: 61 %



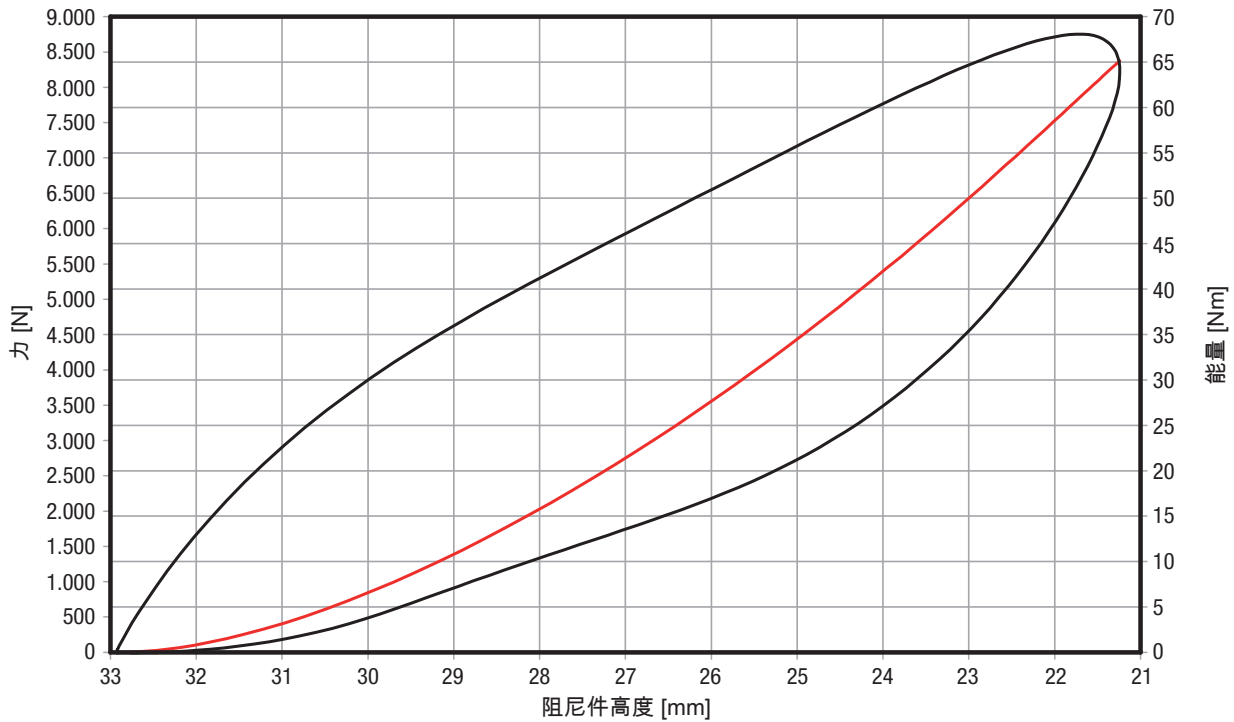
26180-03716

力 - 位移特征曲线, 静态
能量总计值: 33,4 Nm, 能量绝对值: 12,8 Nm, 效率: 38 %



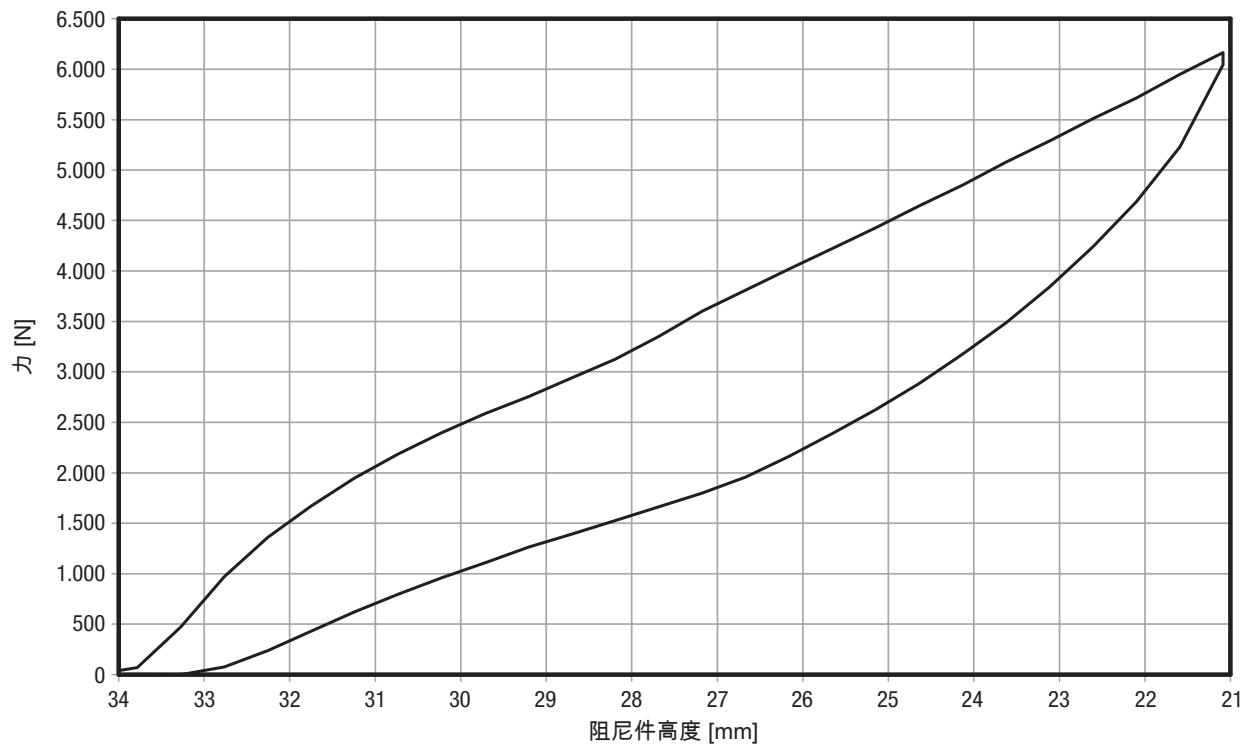
26180-03716

力 - 位移特征曲线, 动态
能量总计值: 65 Nm, 能量绝对值: 39 Nm, 效率: 60 %



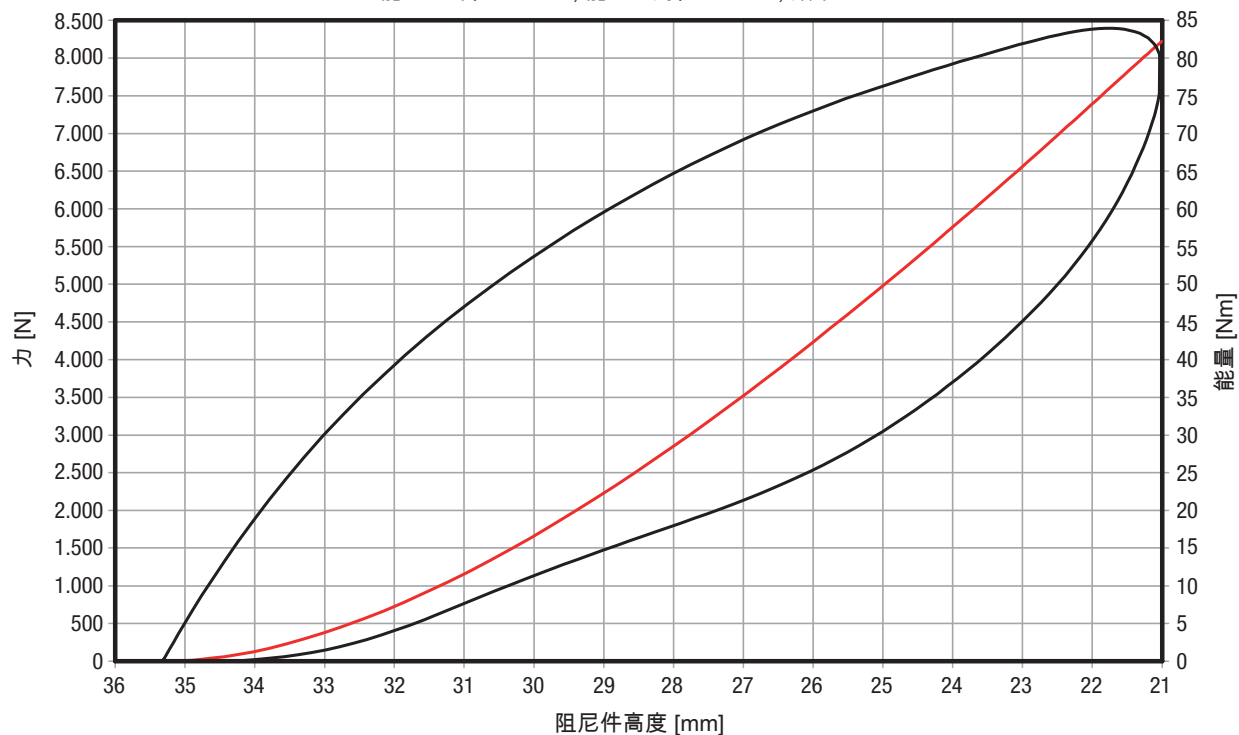
26180-04016

力 - 位移特征曲线, 静态
能量总计值: 43,7 Nm, 能量绝对值: 17,5 Nm, 效率: 40 %



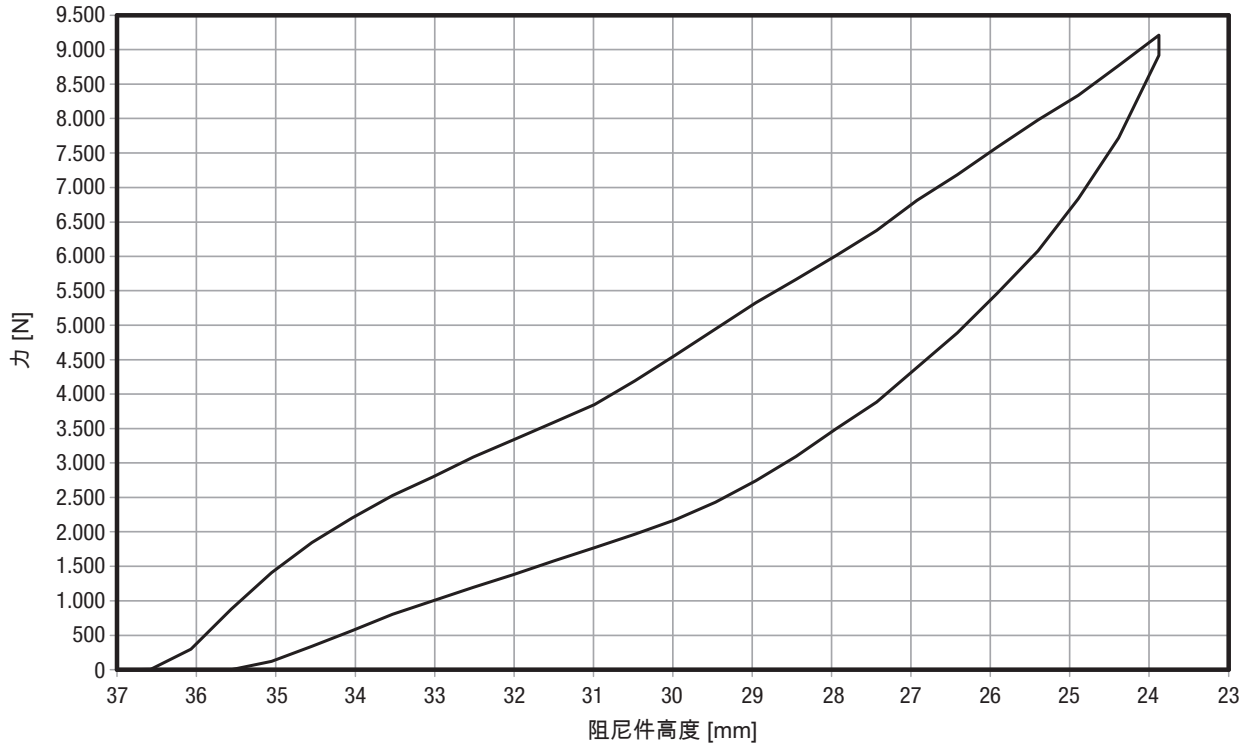
26180-04016

力 - 位移特征曲线, 动态
能量总计值: 82 Nm, 能量绝对值: 51 Nm, 效率: 63 %



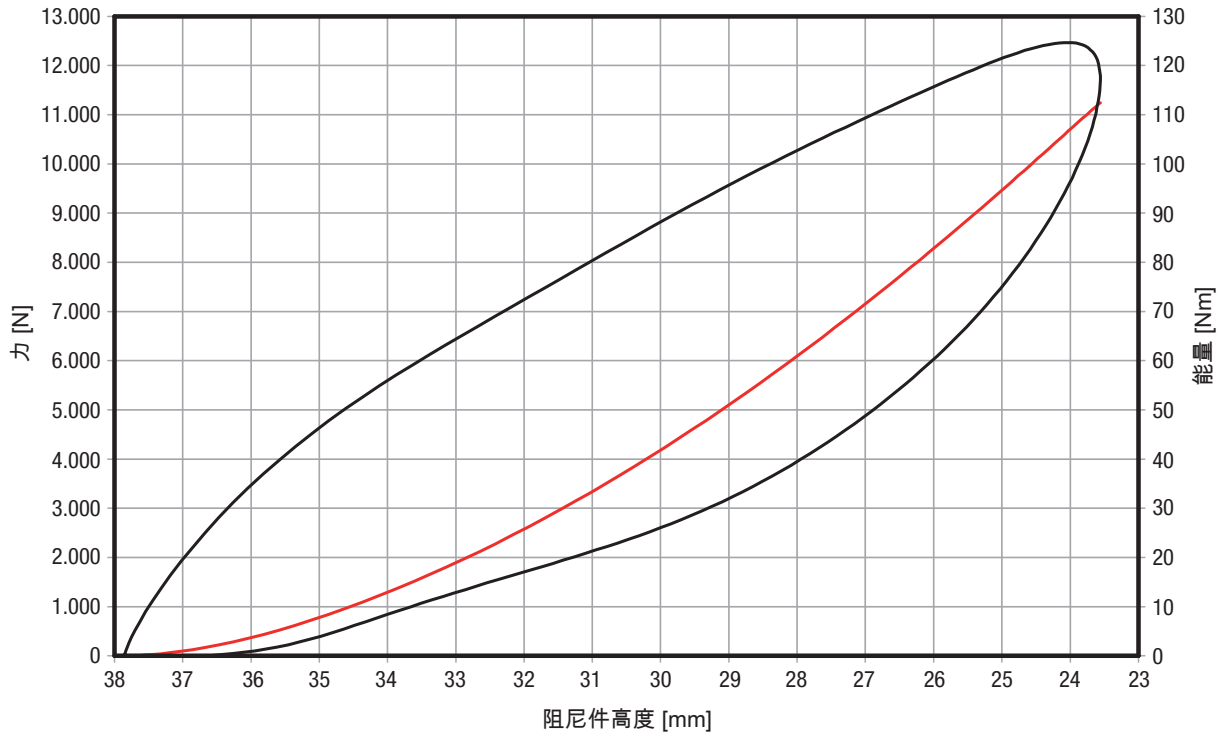
26180-04318

力 - 位移特征曲线, 静态
能量总计值: 58 Nm, 能量绝对值: 23 Nm, 效率: 40 %



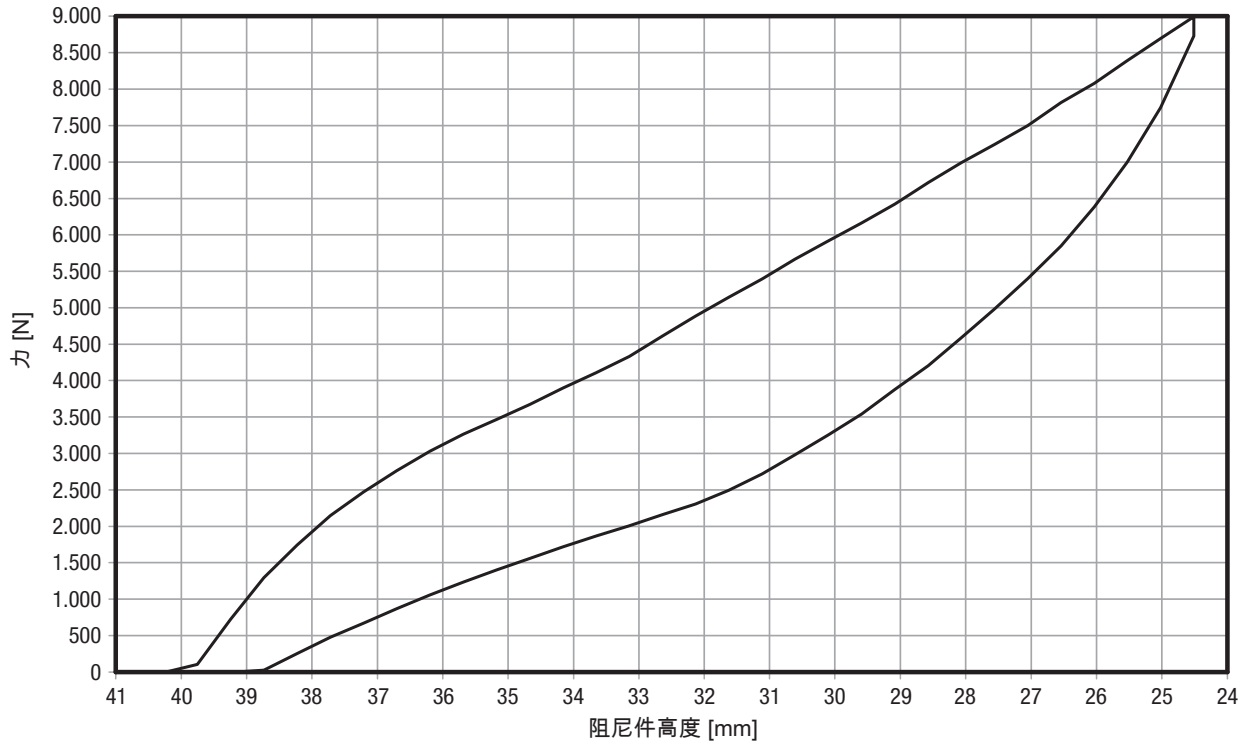
26180-04318

力 - 位移特征曲线, 动态
能量总计值: 112 Nm, 能量绝对值: 69 Nm, 效率: 61 %



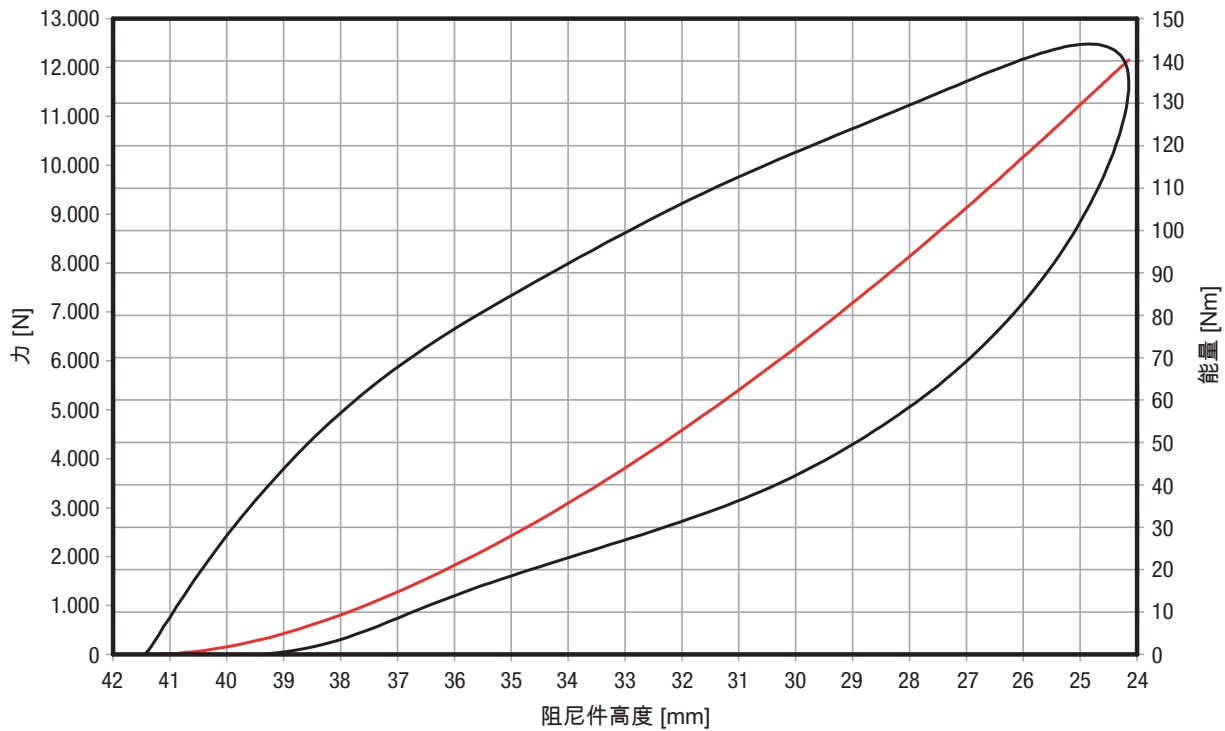
26180-04720

力 - 位移特征曲线，静态
能量总计值: 75 Nm, 能量绝对值: 31 Nm, 效率: 41 %



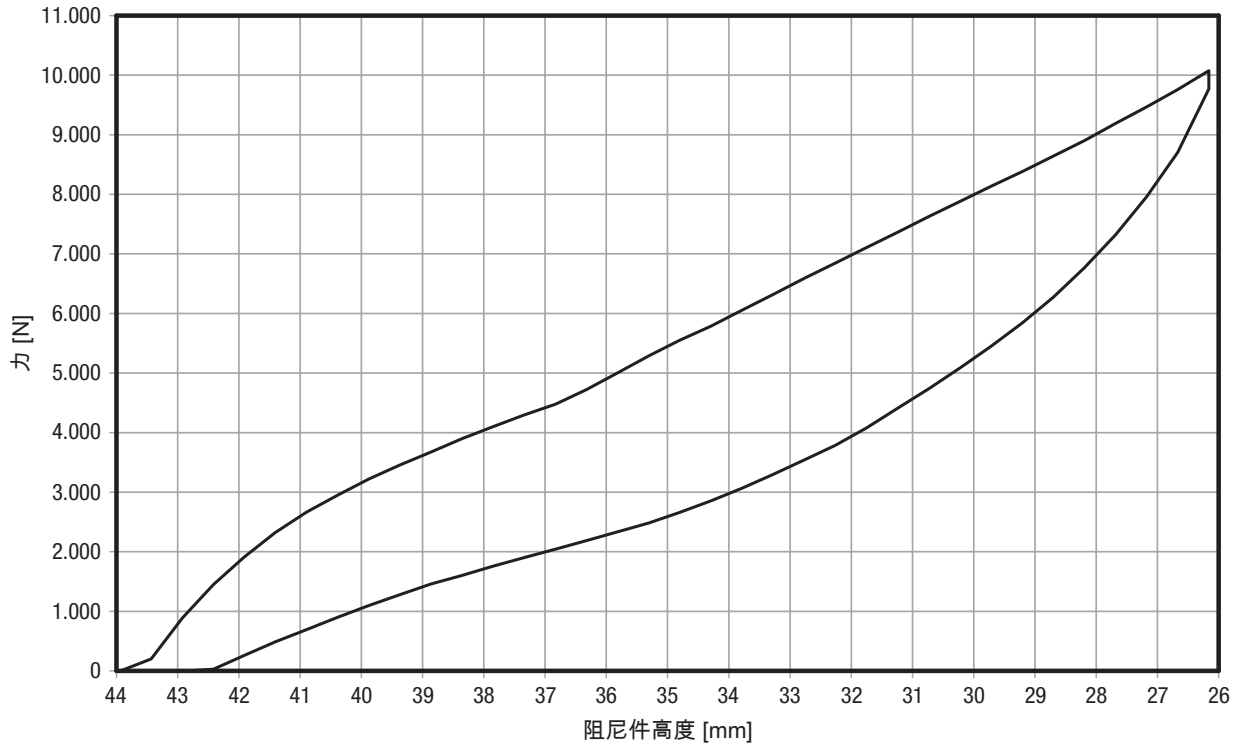
26180-04720

力 - 位移特征曲线，动态
能量总计值: 140 Nm, 能量绝对值: 87 Nm, 效率: 62 %



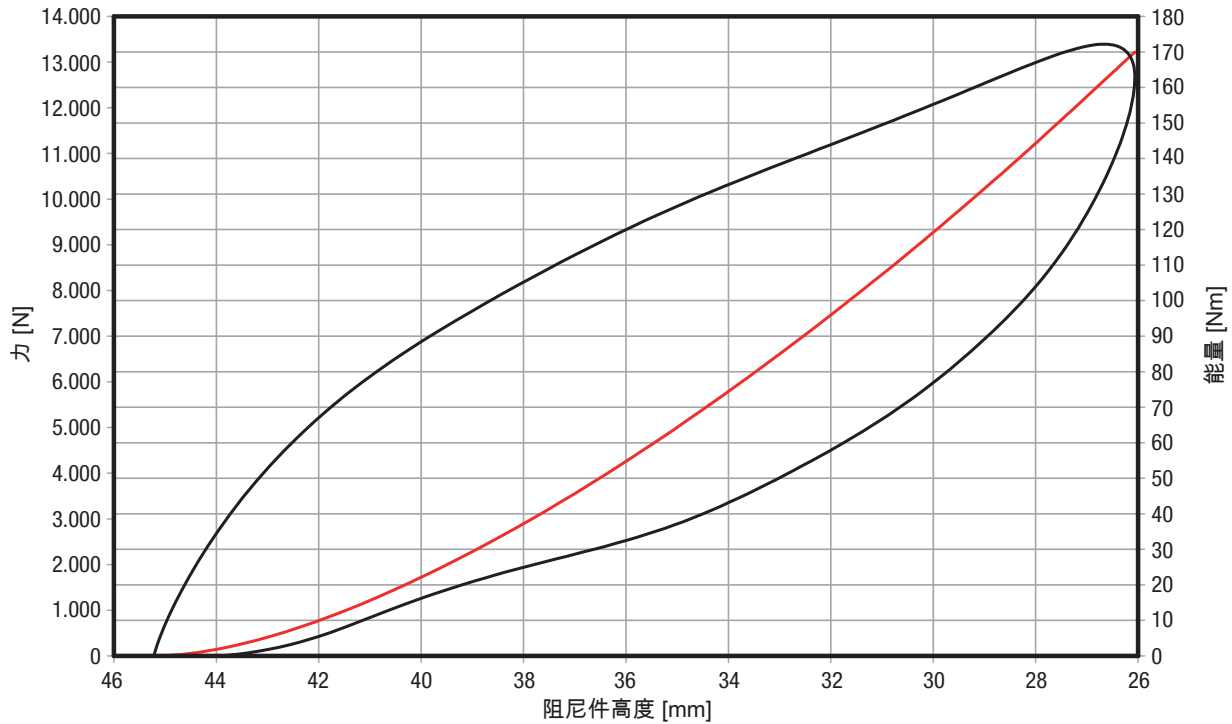
26180-05022

力 - 位移特征曲线，静态
能量总计值: 96 Nm, 能量绝对值: 40 Nm, 效率: 41 %



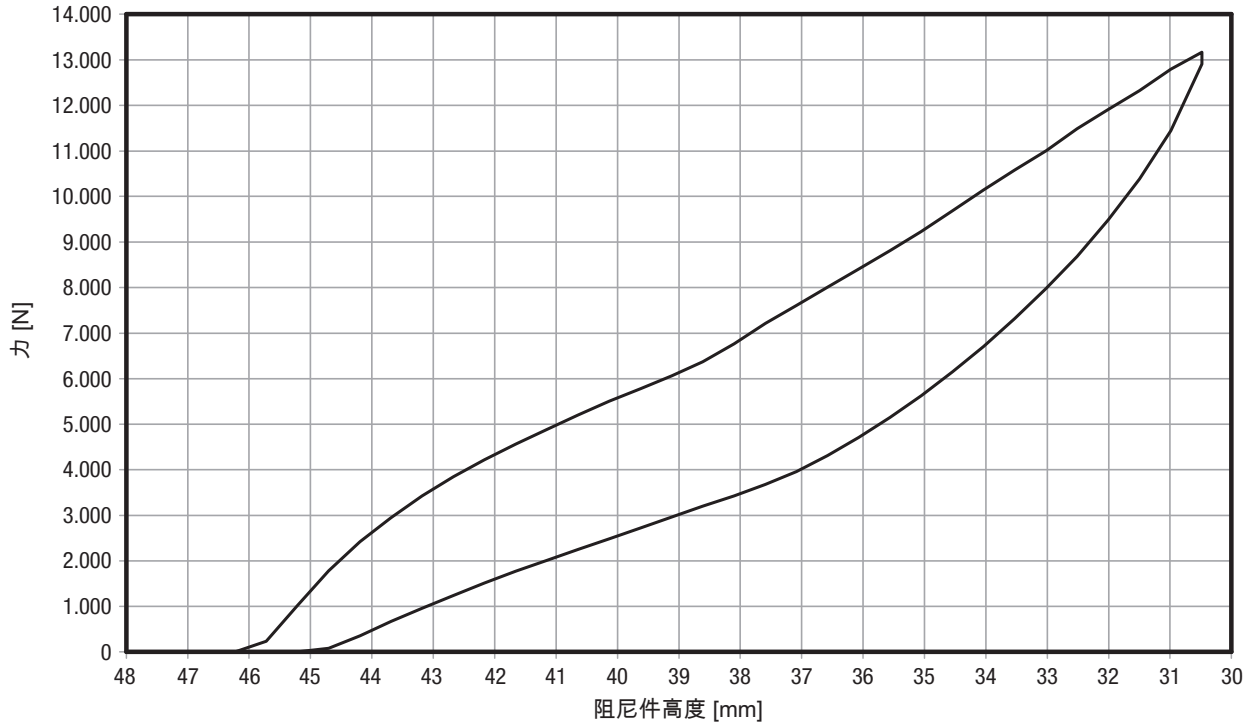
26180-05022

力 - 位移特征曲线，动态
能量总计值: 170 Nm, 能量绝对值: 103 Nm, 效率: 61 %



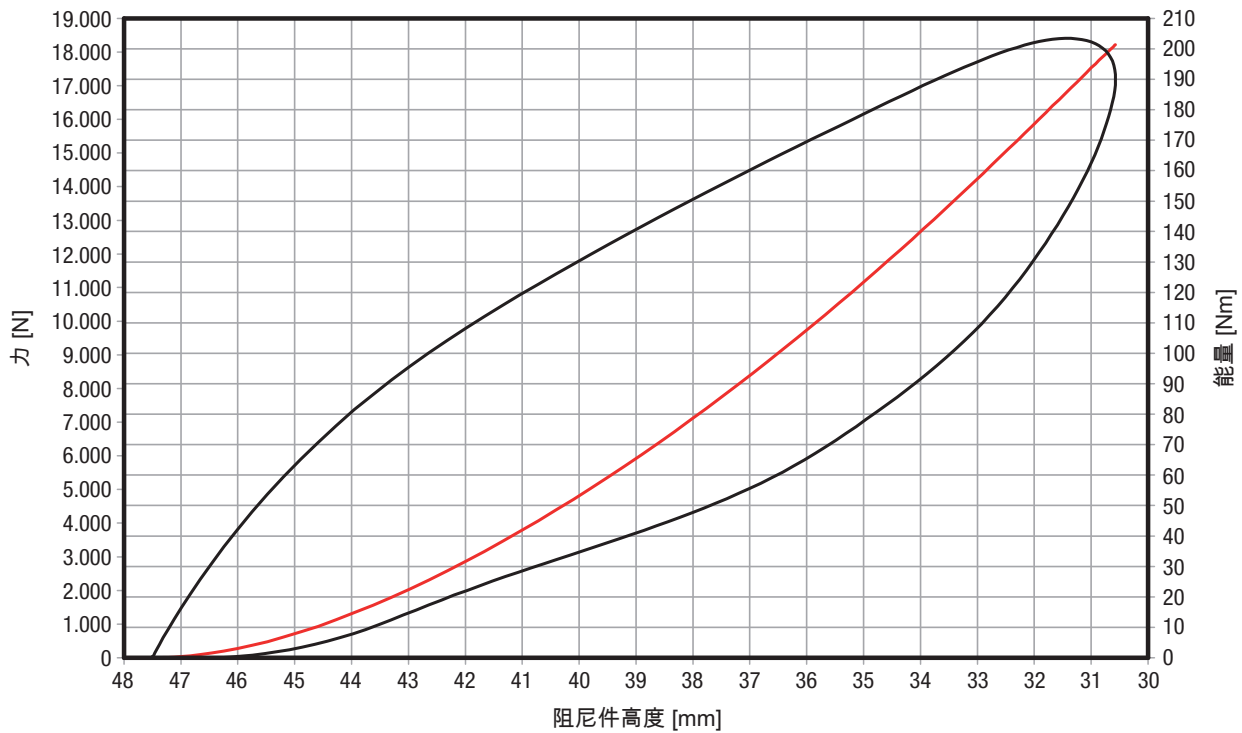
26180-05422

力 - 位移特征曲线, 静态
能量总计值: 107 Nm, 能量绝对值: 42 Nm, 效率: 39 %



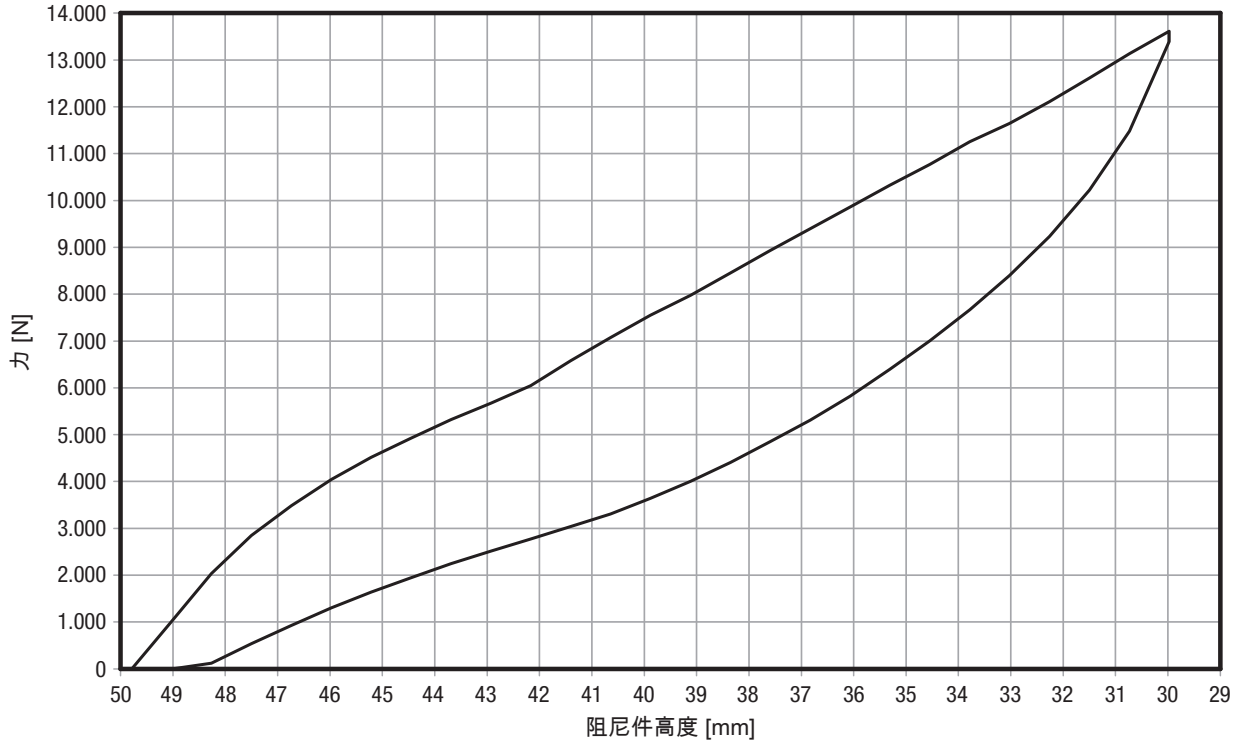
26180-05422

力 - 位移特征曲线, 动态
能量总计值: 201 Nm, 能量绝对值: 122 Nm, 效率: 60 %



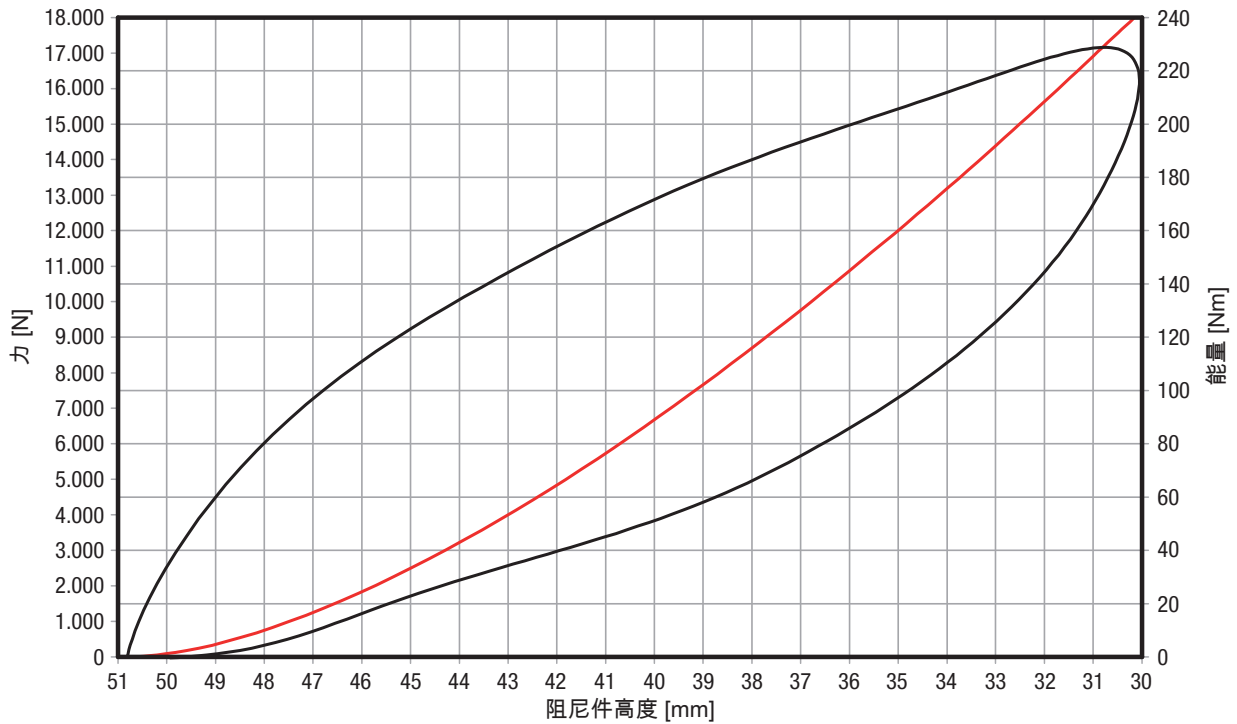
26180-05724

力 - 位移特征曲线，静态
能量总计值: 148 Nm, 能量绝对值: 60 Nm, 效率: 41 %



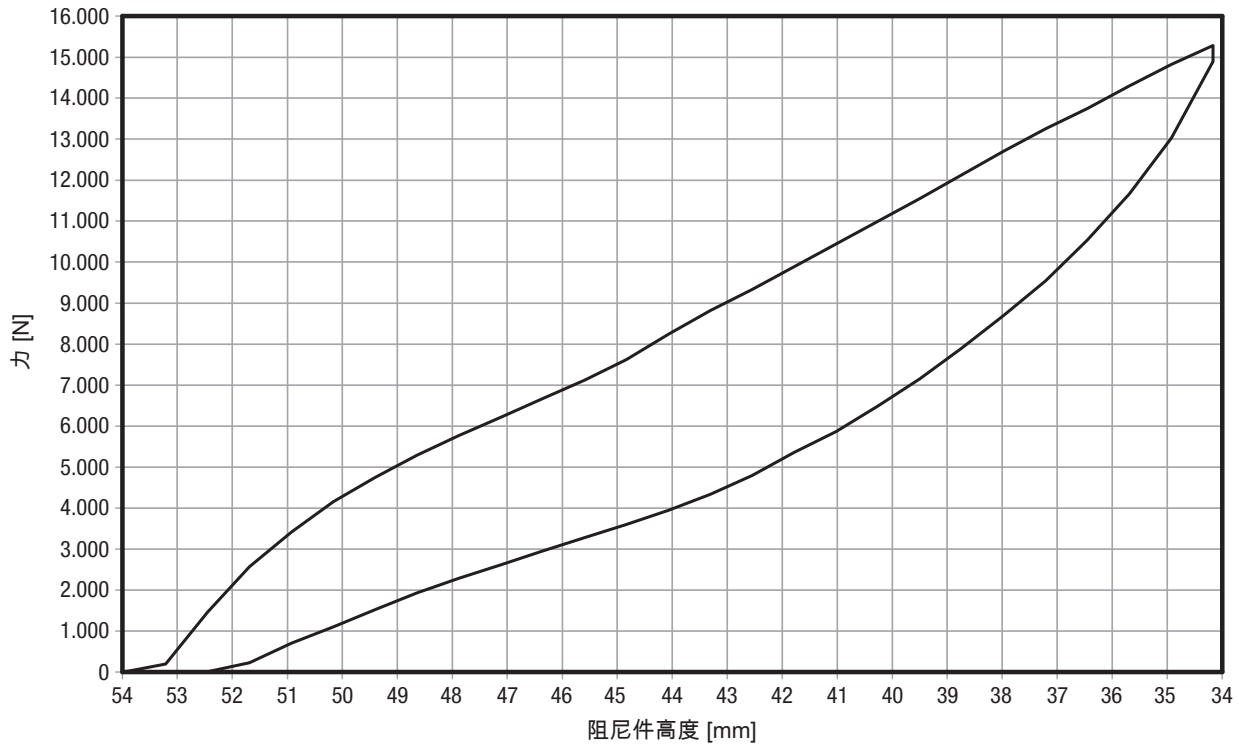
26180-05724

力 - 位移特征曲线，动态
能量总计值: 242 Nm, 能量绝对值: 146 Nm, 效率: 60 %



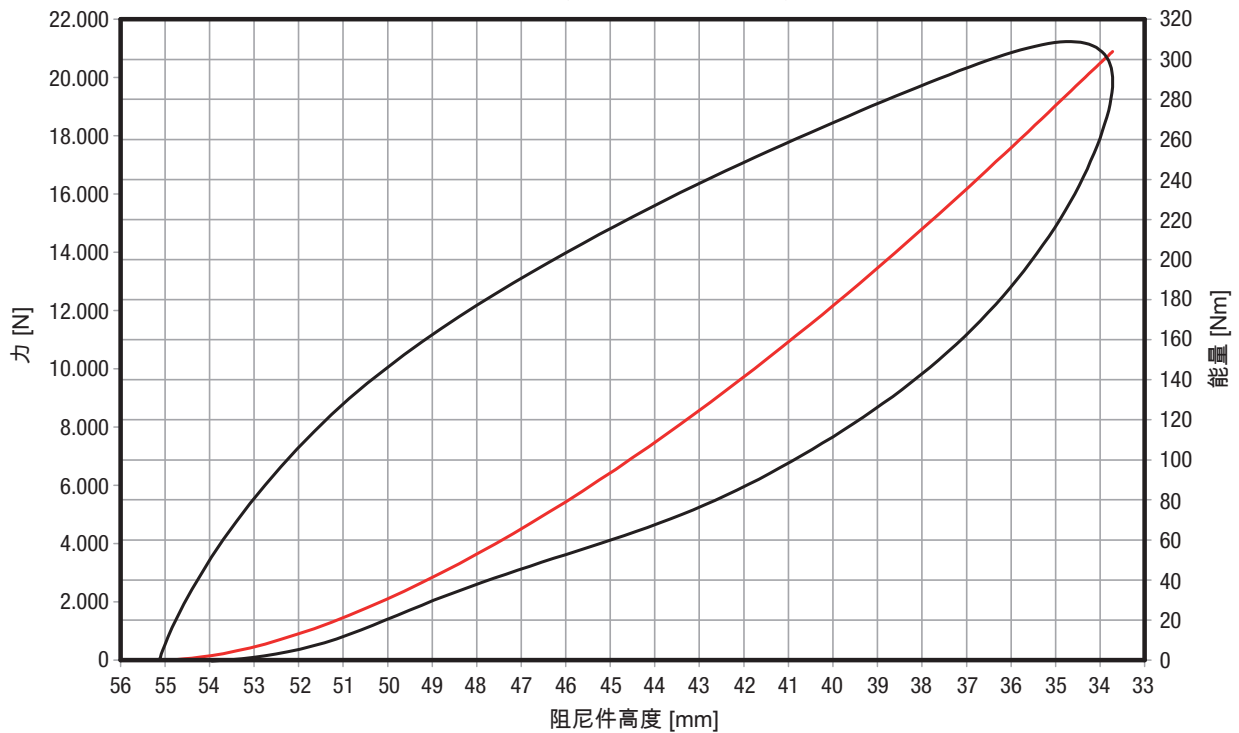
26180-06225

力 - 位移特征曲线, 静态
能量总计值: 162 Nm, 能量绝对值: 66 Nm, 效率: 40 %



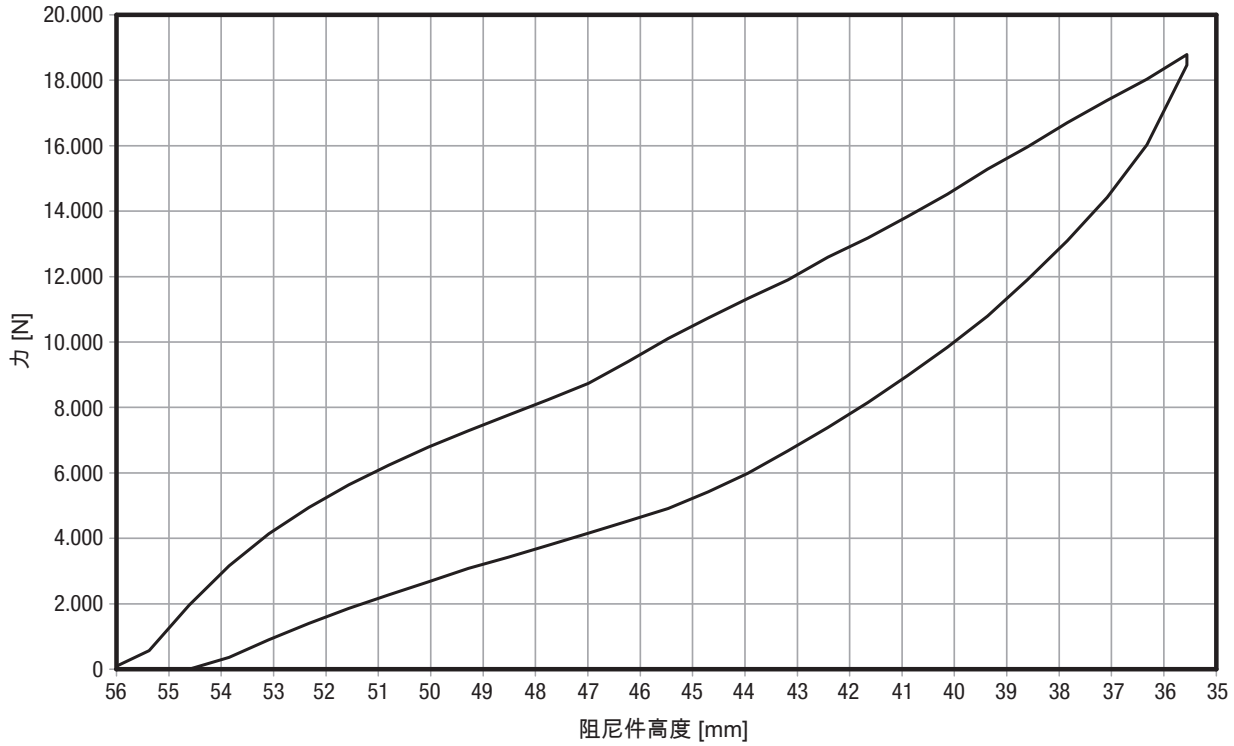
26180-06225

力 - 位移特征曲线, 动态
能量总计值: 304 Nm, 能量绝对值: 184 Nm, 效率: 61 %



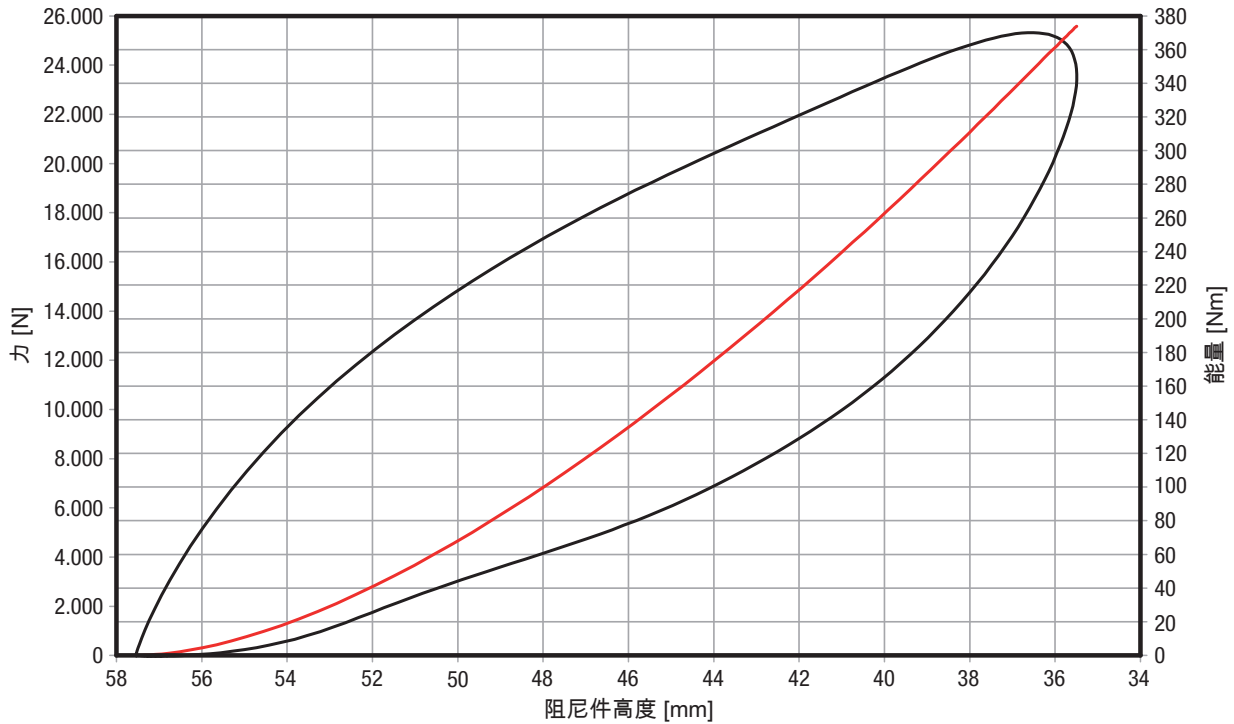
26180-06527

力 - 位移特征曲线, 静态
能量总计值: 203 Nm, 能量绝对值: 80 Nm, 效率: 39 %



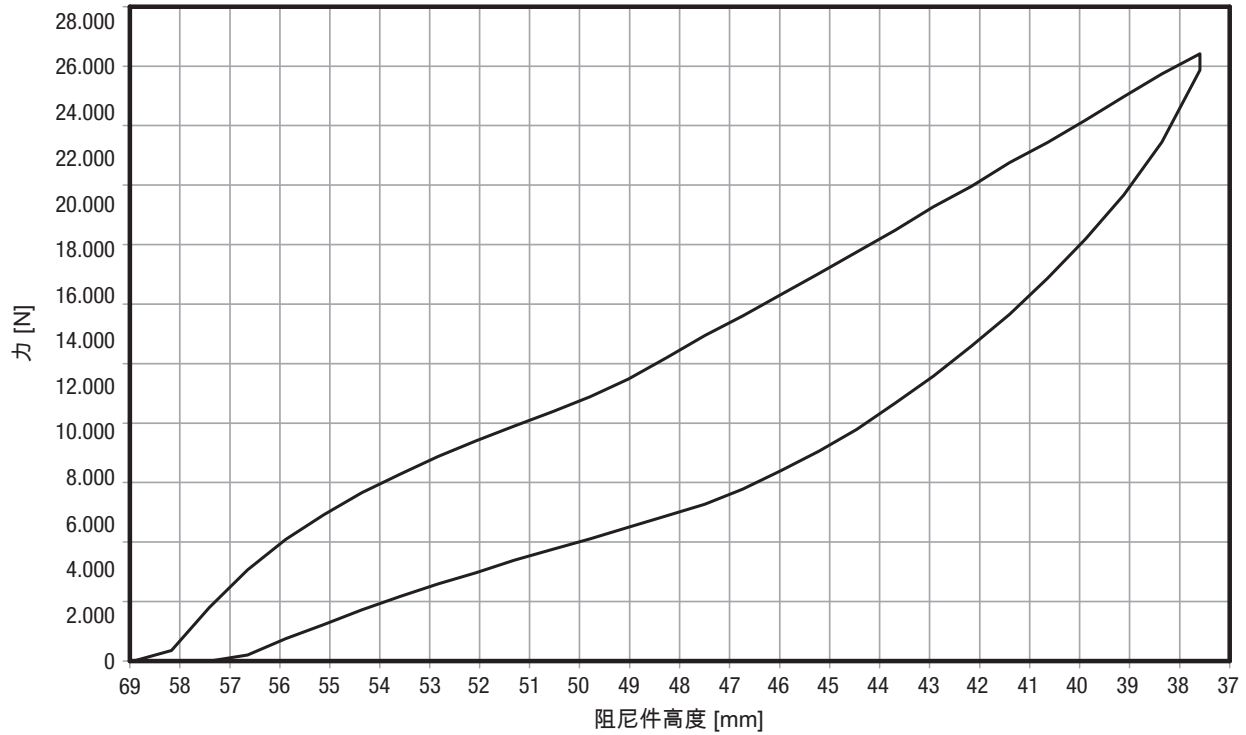
26180-06527

力 - 位移特征曲线, 动态
能量总计值: 374 Nm, 能量绝对值: 231 Nm, 效率: 62 %



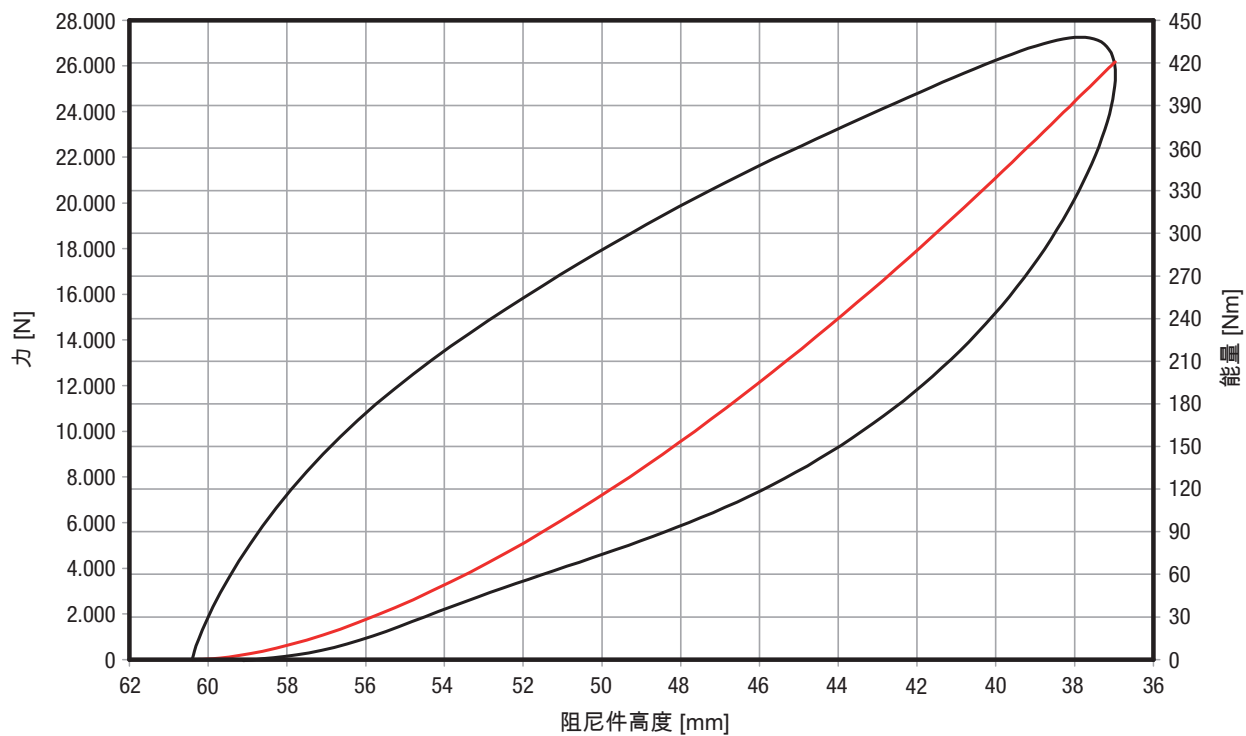
26180-07029

力 - 位移特征曲线, 静态
能量总计值: 224 Nm, 能量绝对值: 91 Nm, 效率: 40 %



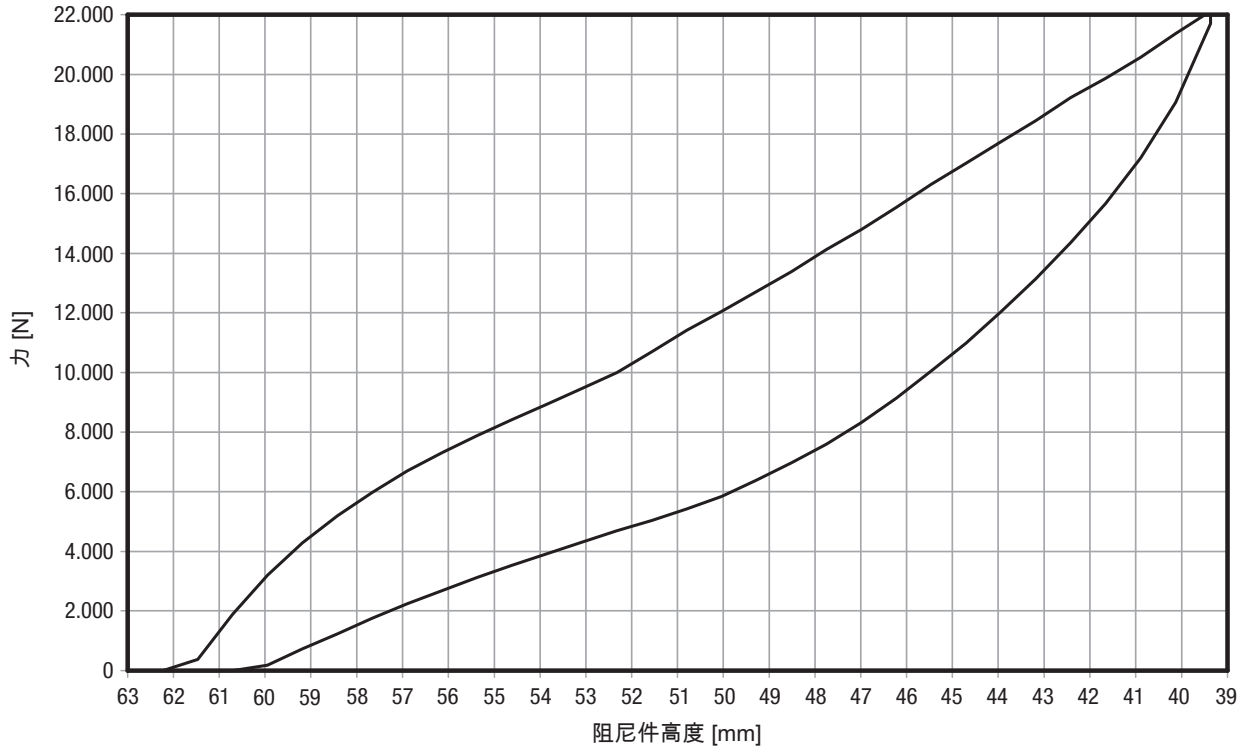
26180-07029

力 - 位移特征曲线, 动态
能量总计值: 421 Nm, 能量绝对值: 257 Nm, 效率: 61 %



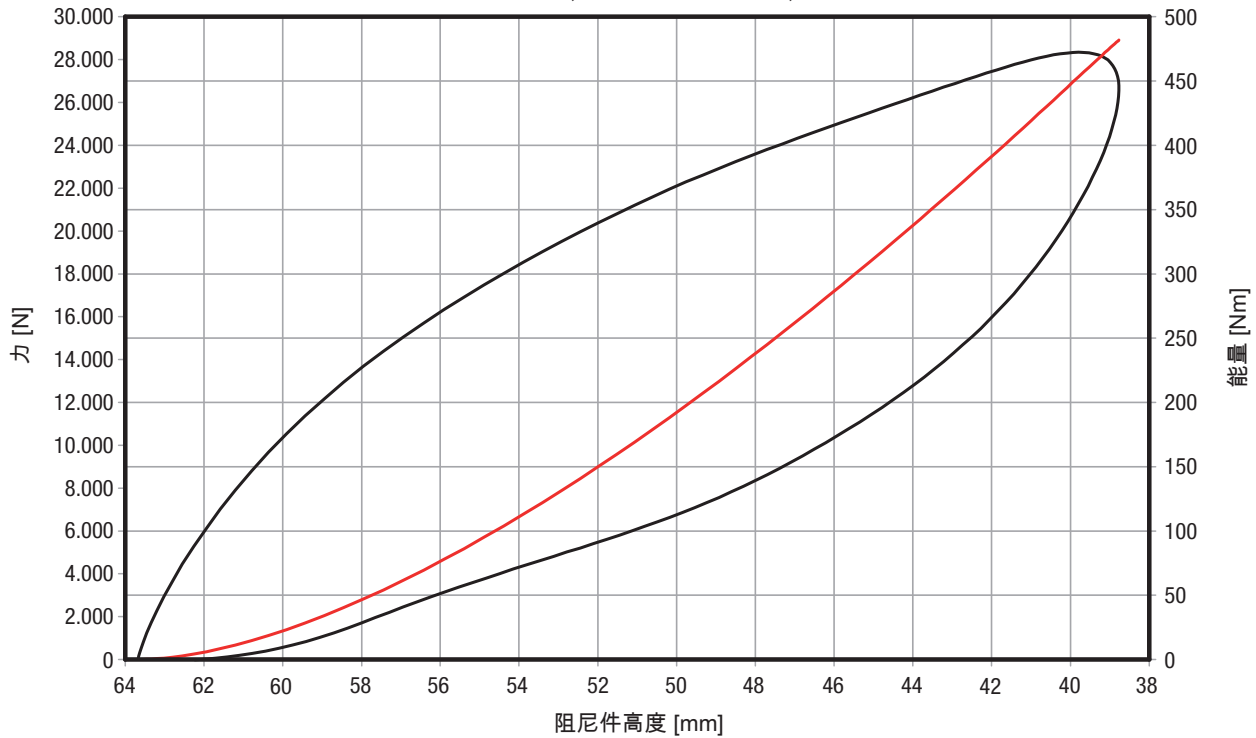
26180-07231

力 - 位移特征曲线, 静态
能量总计值: 264 Nm, 能量绝对值: 106 Nm, 效率: 40 %



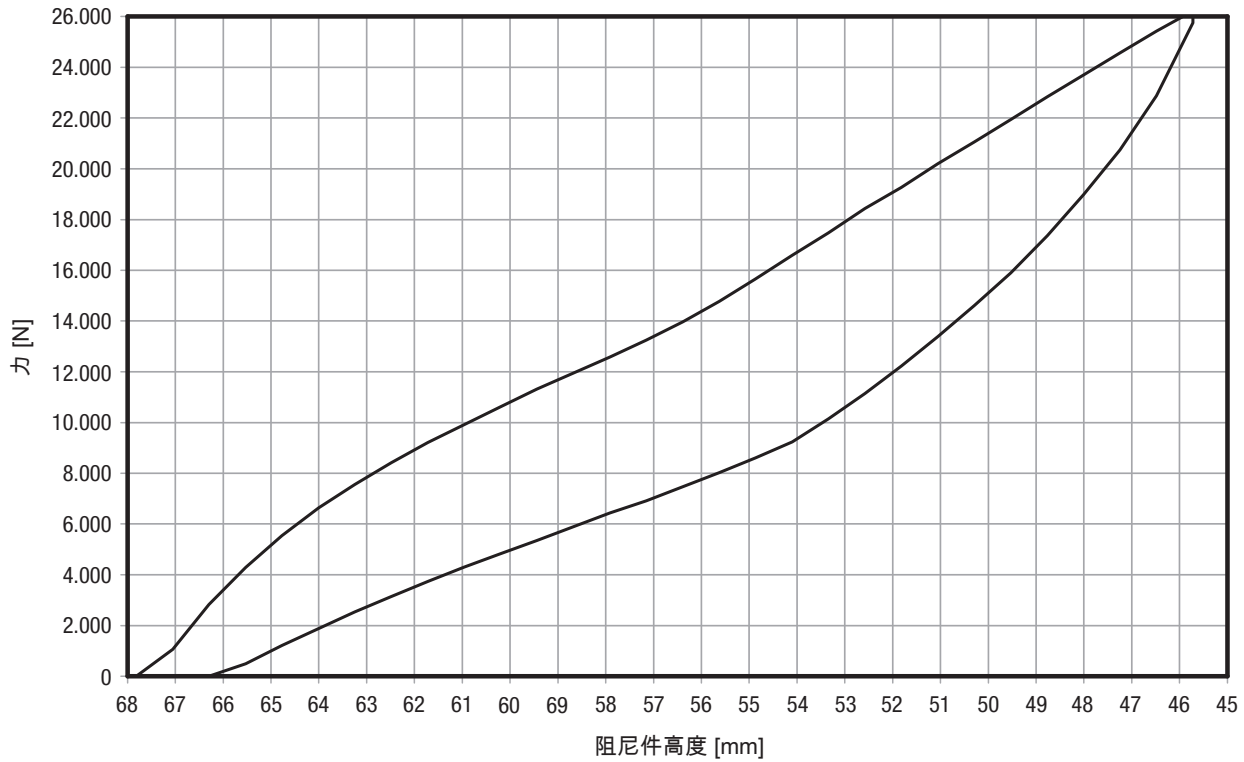
26180-07231

力 - 位移特征曲线, 动态
能量总计值: 482 Nm, 能量绝对值: 395 Nm, 效率: 61 %



26180-0832

力 - 位移特征曲线, 静态
能量总计值: 308 Nm, 能量绝对值: 117 Nm, 效率: 38 %



26180-0832

力 - 位移特征曲线, 动态
能量总计值: 570 Nm, 能量绝对值: 342 Nm, 效率: 60 %

